

依据,同时需继续完善有关复发的长期随访数据。

## 参考文献

- [1] TORRES A M, NARDIS A C, DA SILVA R A, et al. Myositis ossificans traumatica of the medial pterygoid muscle following a third molar extraction [J]. Int J Oral Maxillofac Surg, 2015, 44(4): 488-490.
- [2] 王翔宇,郑吉驷,张善勇,等.数字医学辅助下创伤性骨化肌炎的手术治疗:1例报告及文献复习[J].中国口腔颌面外科杂志,2017,15(2):189-192.
- [3] CONNER G A, DUFFY M. Myositis ossificans: a case report of multiple recurrences following third molar extractions and review of the literature[J]. J Oral Maxillofac Surg, 2009, 67(4): 920-926.
- [4] AOKI T, NAITO H, OTA Y, et al. Myositis ossificans traumatica of the masticatory muscles: review of the literature and report of a case[J]. J Oral Maxillofac Surg, 2002, 60(9): 1083-1088.
- [5] RAMIERI V, BIANCA C, ARANGIO P, et al. Myositis ossificans of the medial pterygoid muscle[J]. J Craniofac Surg, 2010, 21(4): 1202-1204.
- [6] EBBERT T L, BAIMA J J J R, SMOKER W R. Radiology quiz case 1. Myositis ossificans of the bilateral medial and lateral pterygoid muscles [J]. Arch Otolaryngol Head Neck Surg, 2012, 138(4): 422-423.
- [7] THANGAVELU A, VAIDHYANATHAN A, NARENDAR R. Myositis ossificans traumatica of the medial pterygoid[J]. Int J Oral Maxillofac Surg, 2013, 42(1): 10-12.
- [8] JAYADE B, ADIRAJAIAH S, VADERA H, et al. Myositis ossificans in medial, lateral pterygoid, and contralateral temporalis muscles: a rare case report[J]. Oral Surg Oral Med Oral Pathol Oral Radiol, 2013, 116(4): e261-e266.
- [9] JIANG Q, CHEN M J, YANG C, et al. Post-infectious myositis ossificans in medial, lateral pterygoid muscles: a case report and review of the literature [J]. Oncol Lett, 2015, 9(2): 920-926.
- [10] BOFFANO P, ZAVATTERO E, BOSCO G, et al. Myositis ossificans of the left medial pterygoid muscle: case report and review of the literature of myositis ossificans of masticatory muscles [J]. Craniomaxillofac Trauma Reconstr, 2014, 7(1): 43-50.
- [11] 吴晓珊,欧新荣,高兴,等.咀嚼肌群骨化性肌炎的病因、诊断及治疗进展[J].医学临床研究,2015,32(9):1795-1797.
- [12] RANGANATHAN K, LODER S, AGARWAL S, et al. Heterotopic ossification: basic-science principles and clinical correlates [J]. J Bone Joint Surg Am, 2015, 97(13): 1101-1111.
- [13] ALMEIDA L E, DOETZER A, CAMEJO F, et al. Operative management of idiopathic myositis ossificans of lateral pterygoid muscle[J]. Int J Surg Case Rep, 2014, 5(11): 796-799.
- [14] PAVEY G J, POLFER E M, NAPPO K E, et al. What risk factors predict recurrence of heterotopic ossification after excision in combat-related amputations [J]. Clin Orthop Relat Res, 2015, 473(9): 2814-2824.

(收稿日期:2020-12-28 修回日期:2021-04-26)

网络首发 <https://kns.cnki.net/kcms/detail/50.1097.R.20210521.0844.004.html>(2021-05-21)

## 甲状软骨旁痛风结节伴钙化及囊变 1 例报道并文献复习

杨德胜<sup>1</sup>,冉 勇<sup>1</sup>,黄国超<sup>2</sup>,黄显龙<sup>2</sup>,廖蕊堃<sup>2</sup>,李必强<sup>2△</sup>

(1. 重庆市第十三人民医院放射科 400053;2. 重庆市人民医院放射科 400013)

**[关键词]** 痛风结节;喉;甲状软骨;钙化;囊变;病例报道

**[中图法分类号]** R814.43

**[文献标识码]** B

**[文章编号]** 1671-8348(2021)17-3058-03

发生于颈部甲状软骨旁的痛风石病例罕见,国内

外鲜见相关文献报道,笔者总结诊治的 1 例患者,现

报道如下。

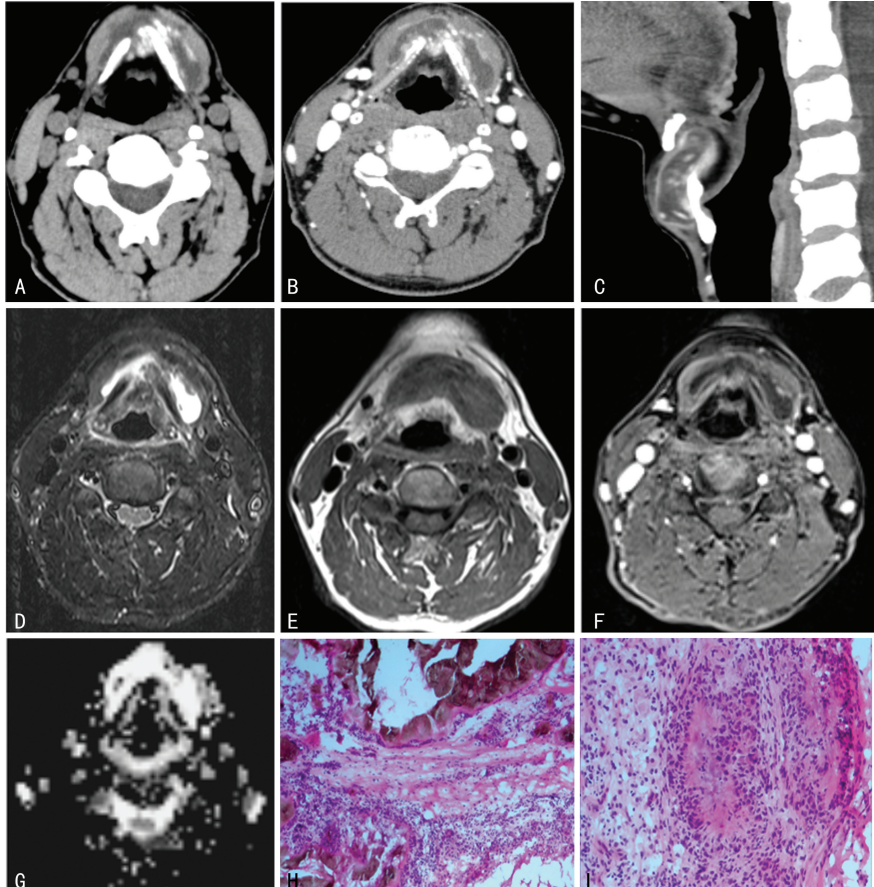
## 1 临床资料

患者，男，51岁，以“咽痛2周，发现颈正中肿块1周”入院。入院2周前，患者受凉后出现咽痛伴吞咽疼痛感，遂前往当地医院就诊，诊断为急性扁桃体炎，予以抗生素治疗后咽痛及吞咽疼痛感基本消失。1周前患者发现颈前正中一小肿块，无红肿及疼痛，无呼吸和吞咽困难，无畏寒发热等。查体：颈部活动可，颈部正中甲状软骨与舌骨间扪及 $4.0\text{ cm} \times 3.5\text{ cm}$ 肿块，边界清楚，质软，局部无红肿，无溢脓，活动度较好，可随吞咽上下运动。实验室检查：甘油三酯 $5.60\text{ mmol/L}$ 、尿酸 $581.2\text{ }\mu\text{mol/L}$ 。

甲状腺彩超示颈前区正中甲状软骨周边异常回

声，考虑“积液”。颈部CT扫描示颈前正中一不规则囊状混杂密度影，自舌骨后向前下达双侧甲状软骨板前方，大小约 $4.1\text{ cm} \times 1.4\text{ cm} \times 3.6\text{ cm}$ ，囊内主要为液性密度并可见小斑结、条状钙化密度影，增强扫描囊壁强化、稍厚，其内囊性成分未见明显强化，见图1A~C。颈部磁共振成像(MRI)扫描示颈前正中不规则囊状长T1、长/短T2混杂信号，增强囊壁强化，囊内无强化，病灶未见扩散受限，见图1D~G。

遂行手术切除，术中见肿块位于颈前带状肌深面，有完整包膜，与周围组织粘连，完整取出囊肿及舌骨体中段，见囊肿内为白色豆腐渣样物。病理诊断：(颈部)痛风结节，伴钙化及囊性变，见图1H~I。



A:轴位平扫示颈前正中不规则囊状混杂密度影，囊内液性密度并夹杂小斑结、条状钙化密度影；B:轴位增强扫描示病灶囊壁强化；C:增强扫描矢状位重建示病灶自舌骨后向前下达甲状软骨板前方；D、E:轴位T2及T1平扫示病灶呈囊状不规则长T1、长/短混杂T2信号；F:增强扫描示病灶囊壁强化，囊内无强化；G:表观扩散系数图示病灶水分子扩散不受限；H、I:尿酸盐结晶，周围肉芽组织形成，囊变及钙化(苏木素-伊红染色， $\times 100$ )。

图 1 相关检查资料

## 2 讨 论

痛风是单钠尿酸盐沉积导致的晶体性关节炎，与嘌呤代谢紊乱和(或)尿酸排泄减少的高尿酸血症密切相关<sup>[1-2]</sup>。高尿酸血症导致单钠尿酸盐结晶在关节囊、滑囊、软骨、骨质和其他组织中沉积，引起周围组织反复发生慢性类肉芽肿样反应形成痛风石。痛风石是痛风的特征性病变，除常见于第一跖趾、指间、掌

指关节、鹰嘴囊、跟腱和指腹等典型部位外，也可发生于少见部位，如脊柱、椎管、髌骨、大关节长骨周围、支气管、心脏瓣膜、巩膜和乳房等部位<sup>[3-4]</sup>。而发生于颈部甲状软骨旁的痛风石国内外少见相关文献报道<sup>[5-6]</sup>。

目前有多种方法可用于痛风石的诊断与评估，包括X射线、超声、MRI、CT、双源CT(DECT)及能谱

CT 等<sup>[7-9]</sup>。MRI 可以早期发现痛风石及痛风石累及关节的滑膜增厚、渗出,软骨破坏及骨髓水肿等,尤其对非钙化痛风结节、微小痛风结节及关节软骨和关节囊病变显示较佳。T1 加权像(T1WI)痛风石呈均匀的低信号,但 T2 加权像(T2WI)信号多种多样,最常见呈不均匀的中-低信号,缺乏特异性表现<sup>[9-10]</sup>。CT 对高密度痛风石的鉴别效果相对较好,在评价关节内部痛风石方面优于超声和 MRI。痛风石的 CT 值在 200 HU 左右,对其进行测定并结合邻近骨质改变有助于诊断痛风<sup>[11]</sup>。DECT 和能谱 CT 是近年发展起来的影像学检查方法,其灵敏度、特异度高,DECT 灵敏度可达 80% ~ 94%,特异度更是高达 88% ~ 94%<sup>[7]</sup>。能谱 CT 还能够进行物质分离和浓度成像,具有对被检测物质的定量分析能力,较其他检查方法可以发现更多的痛风石沉积部位,为无创性诊断提供了新的影像学检查方案<sup>[11-15]</sup>。但病理检查仍是痛风石诊断的金标准。

该例患者病灶发生于颈前上部,范围从舌骨后向下延续至甲状软骨旁内外,以囊变为主要征象,为罕见部位和罕见表现的痛风结节。回顾性分析发现,病灶内有较多钙化密度,密度高低不等,CT 值为 97 ~ 344 HU,并非如文献报道的 200 HU 左右,可能为尿酸盐结晶沉积时间、程度不一及并非均匀沉积所致。对应的高密度钙化在 MRI 表现为 T1 低信号,T2 呈中低信号,信号符合痛风结节 MRI 表现,但其在普通 CT 和 MRI 上缺乏特异性,对诊断鉴别帮助有限。

虽然该例患者尿酸较高,但国内外相关病例报道均主要表现为病灶区斑点结节状钙化密度,而以囊变为主伴钙化表现的病例则实属罕见,同时,该部位囊性病灶以甲状舌管囊肿最为多见,故术前影像学易被误诊为甲状舌管囊肿伴感染及钙化。对于痛风病灶的囊变,则多考虑为尿酸盐沉积区组织坏死液化及炎性反应积液包裹所致。

综上所述,DECT 和能谱 CT 能对尿酸盐进行定性诊断,灵敏度及特异度均很高,是目前痛风最佳的无创性检查方法,但需要与皮样囊肿、脓肿等病变相鉴别。

## 参考文献

- [1] DALBETH N, MERRIMAN T R, STAMP L K. Gout [J]. Lancet, 2016, 388(10055): 2039-2052.
- [2] 中华医学会风湿病学分会. 2016 中国痛风诊疗指南[J]. 中华内科杂志, 2016, 55(11): 892-899.
- [3] 熊洋洋, 李源杰, 曾学军. 痛风石的基础研究与临床诊治进展[J]. 基础医学与临床, 2016, 36(12): 1743-1746.
- [4] ADAMSON R, LACY J M, CHENG A M, et al. Tophus causing bronchial obstruction [J]. Am J Respir Crit Care Med, 2013, 188(12): 72-73.
- [5] 谢竟, 辛伟红, 韩睿宁, 等. 颈部痛风石 1 例 [J]. 中华耳鼻咽喉头颈外科杂志, 2019, 54(9): 697-699.
- [6] HAO C Y, TSAI Y J, WU H M, et al. Case report:gouty tophus of the larynx [J]. Int J Otolaryngol Head Neck Surg, 2021, 10(1): 43-48.
- [7] SHANG J, ZHOU L P, WANG H, et al. Diagnostic performance of dual-energy CT versus ultrasonography in gout: a meta-analysis [J/OL]. Acad Radiol. <https://pubmed.ncbi.nlm.nih.gov/32980243/>.
- [8] 袁仲强, 吕红英, 杨素君, 等. 宝石能谱 CT 成像对痛风的诊断价值分析 [J]. 医学研究与医学应用, 2019, 3(23): 18-19.
- [9] 胡亚彬, 杨青, 段峰, 等. 痛风性关节炎的 X 线平片、CT 和 MR 的对比研究 [J]. 中华内分泌代谢杂志, 2015, 31(7): 587-591.
- [10] CHOWALLOOR P V, SIEW T K, KEEN H I. Imaging in gout:a review of the recent developments [J]. Ther Adv Musculoskelet Dis, 2014, 6(4): 131-143.
- [11] 刘贵清, 李晓, 左敏静, 等. CT 双能量成像在痛风诊断中的临床应用 [J]. 江西医药, 2015, 50(11): 1153-1156.
- [12] OGDIE A, TAYLOR W J, WEATHERALL M, et al. Imaging modalities for the classification of gout: systematic literature review and meta-analysis [J]. Ann Rheum Dis, 2015, 74: 1868-1874.
- [13] 王亚洲, 李艳若, 王道清, 等. DECT 在早期痛风尿酸盐结晶检测中的应用价值 [J]. 临床放射学杂志, 2016, 35(8): 1244-1247.
- [14] DE VULDER N, CHEN M, HUYSSSE W, et al. Case series: dual-energy CT in extra-articular manifestations of gout: main teaching point: dual-energy CT is a valuable asset in the detection of extra-articular manifestations of gout [J]. J Belg Soc Radiol, 2020, 104(1): 27.
- [15] RAMON A, BOHM-SIGRAND A, POTTECHER P, et al. Role of dual-energy CT in the diagnosis and follow-up of gout: systematic analysis of the literature [J]. Clin Rheumatol, 2018, 37(3): 587-595.